



IB-1326-VM-9168.

Areniscas y limolitas del Vendense Superior en el
Km. 203 de la Ctra. Madrid-Badajoz.

IB-1326-VM-9169.

Bancos dolomíticos (blanquecinos) entre pizarras del Vendense Superior, en las proximidades del Puente - de piedra de Almaraz.





IB-1326-VM-9600.

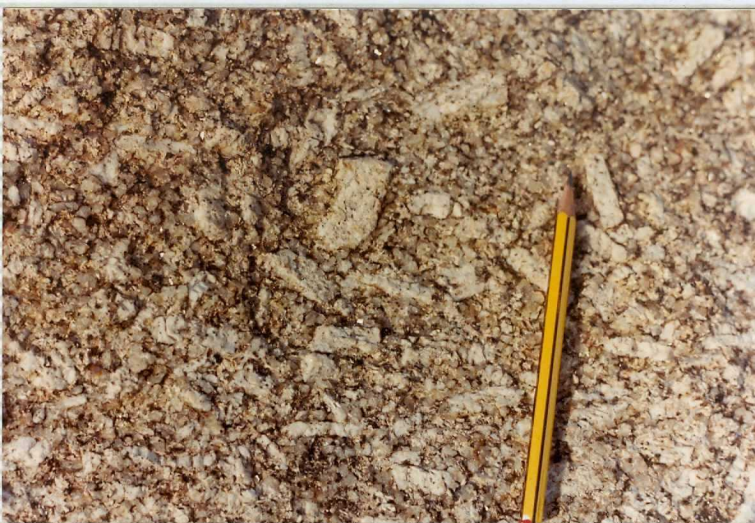
Panorámica del macizo granítico de Mesas de Ibor
(granito porfídico biotítico-moscovitico)



IB-1326-VM-9601.

Granito porfídico biotítico-moscovítico.

Se aprecia claramente la orientación de los megacr_ustales de feldés_uspato. Mesas de Ibor.



IB-1326-VM-9602.

Granito porfídico biotítico-moscovítico.

Detalle del mismo. Mesas de Ibor.



IB-1326-VM-9603.

Resaltes de aplitas y pegmatitas turmalíníferas
cerca de Casas de Belvís.



IB-1326-VM-9604.

Detalle de los diques pegmoaplíticos.

El desarrollo de la turmalina (cristal negro) es, como puede apreciarse, considerable. Belvís de Monroy.



IB-1326-VM-9605.

Detalle de los diques pegmatíticos.

El desarrollo de la turmalina (cristal negro) es, como puede apreciarse, considerable. Belvís de Monroy.



IB-1326-VM-9606.

Resalte de areniscas del Vendiente Superior, cerca del Puente de piedra de Almaraz.



IB-1326-VM-9607.
Relación S_0 - S_1 (S_1 subhorizontal y hercínica) en los materiales pelíticos del Vendense Superior (Sinclinal de Romangordo) Km. 206,5 Ctra. Madrid-Badajoz.



IB-1326-VM-9608.

En el mismo afloramiento, relación S_0-S_1 (S_1 inclinada y Precámbrica). Vendense Superior.



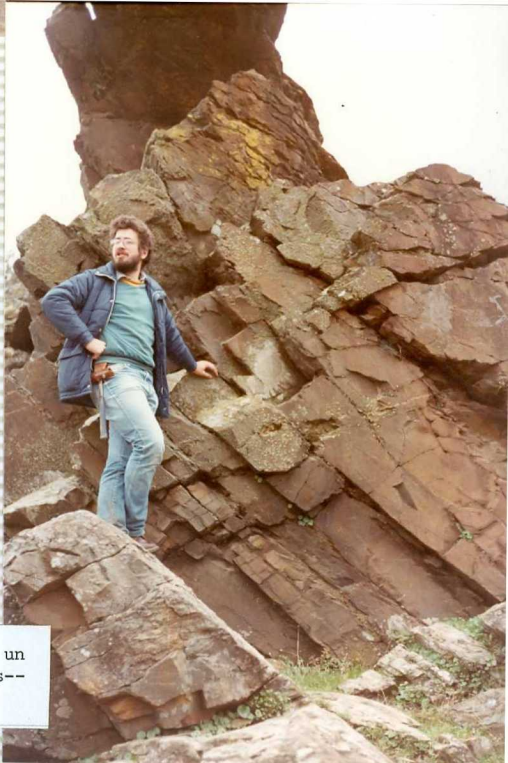
IB-1326-VM-9609.

Paleocanales microconglomeráticos en los materiales del
Vendiense Superior, cerca de Valdecañas.

IB-1326-VM-9610.

Paleocanales microconglomeráticos en los materiales del
Vendiense Superior, cerca de Valdecañas.





IB-1326-VM-9611.
Areniscas del Vendense Superior, donde se aprecia un mayor buzamiento de la estratificación que de la esquistosidad. Zona de Valdecañas.



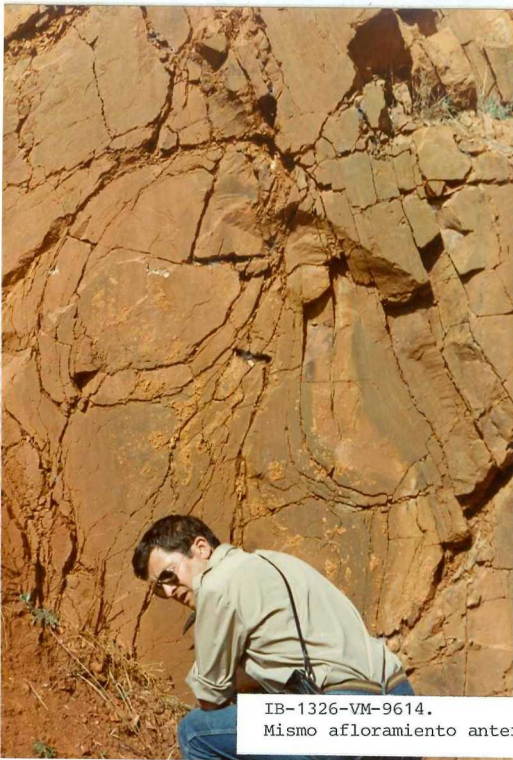
IB-1326-VM-9612.

Areniscas del Vendriense Superior, en la Ctra. Gral.
Madrid-Badajoz (Km. 206).



IB-1326-VM-9613.

Mismo afloramiento anterior, con mayor detalle.



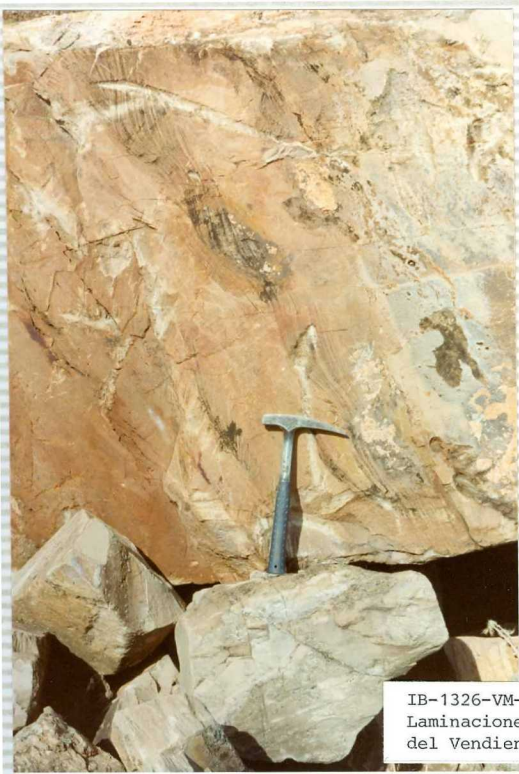
IB-1326-VM-9614.

Mismo afloramiento anterior. Estratificación subvertical.



IB-1326-VM-9615.

Laminaciones cruzadas en un bloque caído de areniscas del Vendiense Superior. Km. 205,5 Ctra. Madrid-Badajoz.



IB-1326-VM-9616.

Laminaciones cruzadas en un bloque caído de areniscas del Vendense Superior. Km. 205,5 Ctra.Madrid-Badajoz.



IB-1326-VM-91617.

Laminaciones cruzadas en un bloque caído de areniscas del Vendense Superior. Km. 205,5 Ctra. Madrid-Badajoz.



IB-1326-VM-9620.

Bancos dolomíticos entre pizarras del Vendense Superior, cerca del Puente de piedra de Almaraz.



IB-1326-VM-9621.

Resaltes dolomíticos del Vendense Superior en las proximidades del Pantano de Valdecañas.



IB-1326-VM-9622.

Cantera en las proximidades de Valdecañas. Dolomías del Vendriense Superior. Panorámica en la que al fondo se detectan los relieves de la Cuarcita Armorica na.



IB-1326-VM-9623.

Cantera, cerca de Valdecañas. Dolomías del Vendiense Superior.



IB-1326-VM-9624.

Cantera de materiales dolomíticos del Vendense Superior en las cercanías de Almaraz.



IB-1326-VM-9625.

Laminación de algas, en los materiales dolomíticos -
del Vendense Superior cerca de Valdecañas.



IB-1326-VM-9626.

En el mismo afloramiento anterior estructura estromatolítica.



IB-1326-VM-9627.
Dolomías acintadas del Vendiense Superior, cerca de
Valdecañas.



IB-1326-VM-9628.

Rocas carbonatadas del Vendicense Superior en el Km 204 de la Ctra. Madrid-Badajoz. Bancos carbonatados formados por laminaciones de algas intercalados con pizarras.



IB-1326-VM-9629.

Afloramiento de rocas carbonatadas del Vendense Superior, relativamente próximo al reflejado en la fotografía 9628.



IB-1326-VM-9630.

Detalle del afloramiento anterior.



IB-1326-VM-9631.

Areniscas del Cámbrico Inferior con evidente estratificación cruzada. Km. 219 Ctra. Madrid-Badajoz.



IB-1327-VM-9632.

Skolithos en los tramos pelíticos basales del Cám-
brico Inferior. Km. 220,5 Ctra. Madrid-Badajoz.



IB-1326-VM-9633.

Cuarcita Armoricana en el Pantano de Valdecañas



IB-1326-VM-9636.
"Pizarras y cuarcitas alternantes", Garganta del
Arroyo Mariguena.



IB-1326-VM-9637.
"Pizarras y cuarcitas alternantes", Garganta del
Arroyo Mariguena.



IB-1326-VM-9638.

"Pizarras y cuarcitas alternantes", Garganta del
Arroyo Mariguena.



IB-1326-VM-9639.

"Pizarras y cuarcitas alternantes". Garganta del
Arroyo Marigüeña



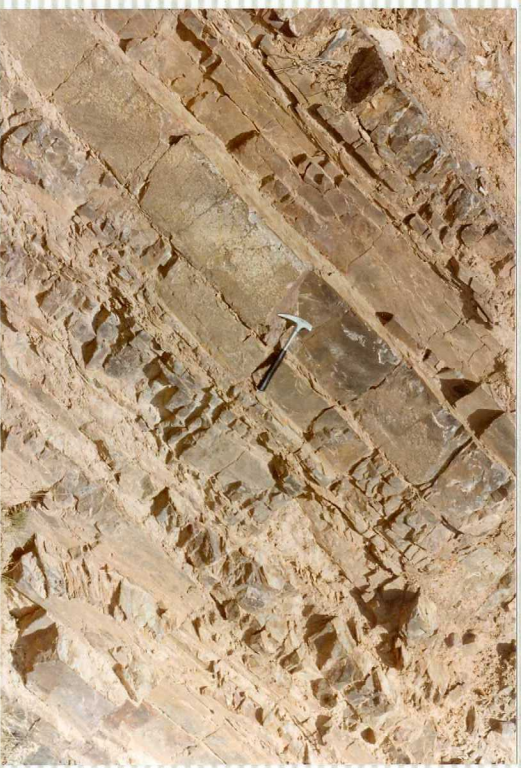
IB-1326-VM-9640.

"Pizarras y cuarcitas alternantes". Pantano de Valdecaños.



IB-1326-VM-9641.

"Pizarras y cuarcitas alternantes". Pantano de Valdecaños.



IB-1326-VM-9642.

"Pizarras y cuarcitas alternantes". Pantano de Valdecaños.



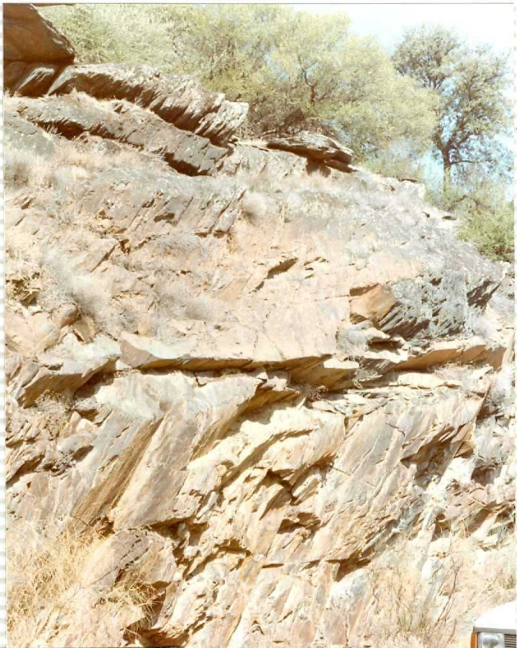
IB-1326-VM-9643.

Pizarras con "Calymene" del Llauvirn-Llandeilo en el Pantano de Valdecañas.



IB-1326-VM-9644.

Pizarras con "Calymene" del Llanvirn-Llandeilo en el Pantano de Valdecañas.



IB-1326-VM-9645.
Pizarras con "Calymene" del Llanvirn-Llandeilo en el
Pantano de Valdecañas.



IB-1326-VM-9646.

Panorámica tomada en las cercanías del Pantano de Valdecañas desde el Macizo de Belví, donde los tramos de primidos corresponden a las "Pizarras gris-negruczas masivas". El resalte del fondo corresponde a la Cuarcita Armoricana.



IB-1326-VM-9647.

Panorámica en la que en primer término se reflejan las "Pizarras gris-negruczas masivas".



IB-1326-VM-9648.

Afloramiento de Cuarcitas Silúricas en el Caserío de la Dehesa Vieja muy cerca del Pantano de Valdecañas.



IB-1326-VM-9649.

Iden anterior. con mayor detalle.



IB-1326-VM-9650.

Afloramiento de Cuarcitas Silúricas en el Caserío de la Dehesa Vieja, en las proximidades del Pantano de Valdecañas.



IB-1326-VM-9651.

Paleoceno en las cercanías de Serrejón. Gonglomerados.



IB-1326-VM-9652.

Detalle del afloramiento anterior.



IB-1326-VM-9653.

Paleoceno, muy cerca de Almaraz. Arcosas. Km. 197,5.
Ctra. Madrid-Badajoz.

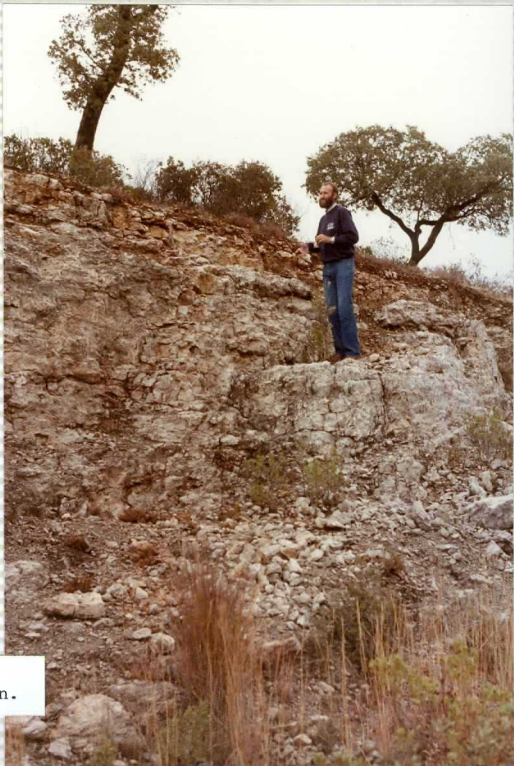


IB-1326-VM-9654.

Panorámica del Terciario cerca de Almaraz. Al fondo materiales igneo-metasedimentarios Hercínicos.

IB-1326-VM-9655.

Paleocaliche en la ctra. de Almaraz a Serrejón.





IB-1326-VM-9656.
Paleocaliche en la Ctra. de Almaraz a Serrejon.



IB-1326-VM-9657.

"Raña" en el Km. 222,5 de la Ctra. Madrid-Badajoz.



IB-1326-VM-9658.

"Raña" en el Km. 222,5 de la Ctra. Madrid-Badajoz.



IB-1326-VM-9659.

"Raña" en el Km. 222,5 de la Ctra. Madrid-Badajoz.